

THE LOCAL UNYIELDING OF THE SUBSOIL AND ITS EFFECT ON THE COURSE OF THE CONTINUOUS FOOTING DEFLECTIONS

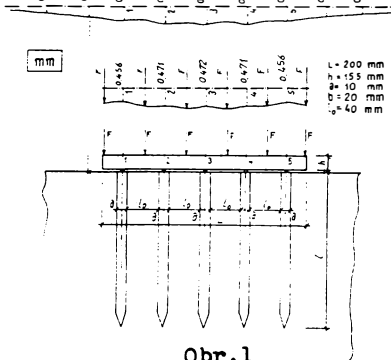
LOKÁLNA NEPODDAJNOSŤ PODZÁKLADIA A JEJ VPLYV NA PRIEBEH PRIEHYBOV ZÁKLADOVÉHO PÁSA

Pavlik M.

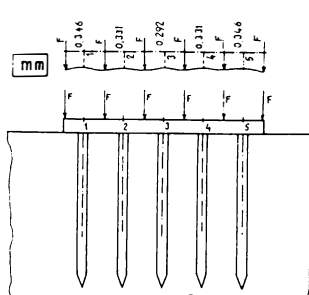
The object of the investigation is a continuous footing with piles - a girder on a pile foundation. The paper provides possibilities to exploit the results of model investigation of structures on an elastic foundation at an economical as well as safe proposal of the upper structure.

Keywords : The elastic subsoil, the continuous footing, piles

Pružný podklad nosníka na pilótovom základe /obr.1/ tvorí polyuretánové médium s modulom pružnosti $E_2 = 10,1 \cdot 10^5$ Pa. Modul pružnosti materiálu nosníka je $E = 45 \cdot 100 \cdot 10^5$ Pa. Spojenie nosníka s podložím sa realizuje prostredníctvom kílov, uvažované medzi nosníkom a pilótami. Nosník je zatažovaný skupinou síl $F = 5,23$ N. Priehyby nosníka boli zaznamenávané číselníkovými odchylkomerami, ktorých hroty sa dotýkali nosníka, a to nad



Obr. 1



Qhr 2

pinou pi-
lót uspo-
riadaných
v jednom
rade. Piló-
ty sú
s podkla-
dom spoje-
né.

Uvažovaný je stav po zbaranení pilót, po konsolidácii podložia, kedy konštrukciou pilóty sa stáva aj určitá oblasť geologickej masívu.Teda na prenášanie zataženia, pôsobiaceho na základový pás - nosník - sa podieľa celý povrch pilóty.

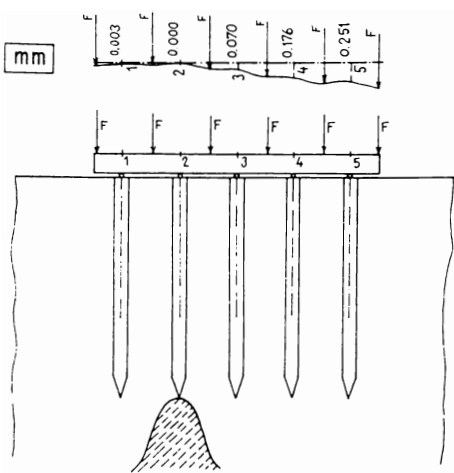
Ohybová čiara nosníka na pilótoch je vykreslená na obr.1 v strede.Priehyby pružného podkladu s pilótami, merané v pozdĺžnej osi nosníka, sú uvedené v hornej časti obr.1.

Prípad, keď nosník je priamo uložený na pružný pilótový základ, t.j. keď sa uplatní i šmykové trenie v kontaktnej ploche, nosník - pružný podklad, je uvedený na obr.2. Priehyby pružného podkladu s pilótami, merané opäť v pozdĺžnej osi nosníka, udávajú súčasne poradnice ohybovej čiary nosníka /obr.2 hore/.

Porovnajme výsledky dosiahnuté pri oboch modeloch. Z ohybových čiar vyplýva, že nosník uložený priamo na pružný pilótový základ vykazuje menšie priehyby, a teda i menšie deformácie - zatlačenie základu, než nosník uložený na pilótoch, kvázi spojený nosník uložený na pružných podperách. Ak pri modeli podľa

obr.2 sú priehyby uvažované za základ, potom sú priehyby nosníka v programe podľa obr.1 o 31,8 % až 61,6 % väčšie.Menšie priehyby systému podľa obr.2 umožňuje hlavne spojito rozložená reakcia podložia.

Dalej skúmajme model nosníka na pilótovom základe /obr.3/, v ktorom druhá pilóta zlava bola uložená na skalnom podklade /prípad, keď pilóta pri baranení narazi na nepodajný podklad/. Ak sústredená sila F bude pôsobiť na nos-



Obr.3

ník ako jediná, a to v bode 2, neuplatní sa plášťové trenie, neaktivizuje sa geologický masív,nenastáva tendencia vzniku relatívnych posunov bodov plášťa pilóty a okolia.Pri zatažení skupinou síl F, ktorých hodnoty sú ako v predchádzajúcim,vznikla ohybová čiara nosníka,ktorú udáva obr.3 hore.

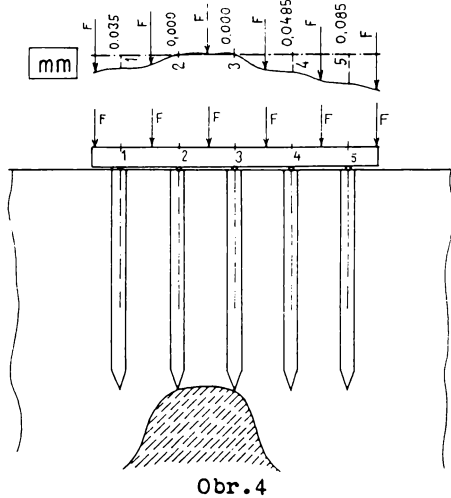
Obr.4 predstavuje ďalší skúmaný model, model nosníka na piló-

tovom základe, v ktorom druhá a tretia polóta zľava sú uložené na skalnom podklade. Pri zatažení celou skupinou síl F , ktorých hodnoty sú opäť ako v predchádzajúcich prípadoch, vznikla ohybová čiara nosníka, znázornená na tomže obrázku.

Porovnajme ďalej výsledky troch riešení, vyplývajúcich zo zmeny vlastností základovej pôdy. Zmena v podloží, podľa modelu -- programu - obr.3, t.j. keď v bode 2 je priebeh nosníka nulový, v dôsledku nepoddajnosti podložia, o ktorý sa pilota svojim hrotom opiera, spôsobí úplnu zmenu ohybovej čiary nosníka. Priebeh nosníka v bodech 1 až 5 sú výrazne menšie, na čo má tiež vplyv tuhost nosníka v ohybe. V uvažovanom prípade, ak ide o najvzdialenejší meraný bod 5, je jeho priebeh menší a je 55 % z priebehu nosníka na pružnom pilótovom základe - obr.1.

Ak porovnáme priebeh bodu 5, pri zmene pomerov v podzákladí podľa modelu na obr.4 s modelom na obr.1, je priebeh opäť menší /obr.4/, a to výrazne; je iba 18,64 %. Je menší aj v porovnaní s priebehom na modeli

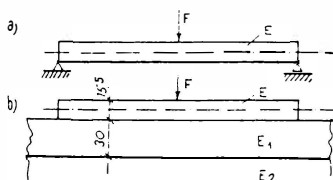
- obr.3 a je 33,84 %.



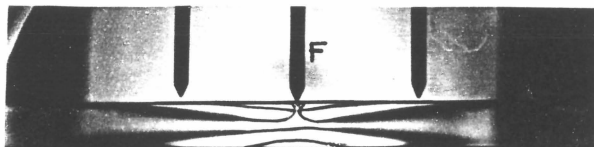
Na obr.6 sú zobrazené interferenčné pruhy polovičných hodnôt interferenčného radu, vzniklé od zataženia sústredenou silou $F = 60 \text{ N}$ pôsobiacou uprostred nosníka uloženého na dvojvrstvovom podklade /obr.5b/. Moduly pružnosti podkladu sú $E_1 = 8,1 \cdot 10^5 \text{ Pa}$ a $E_2 = 10,1 \cdot 10^5 \text{ Pa}$.

Pre porovnanie sú na obr.7 uvedené interferenčné pru-

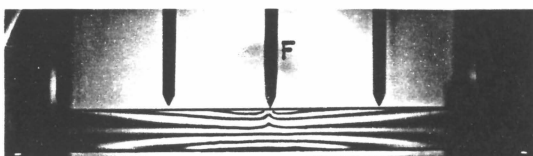
hy na tomže nosníku pri tej istej sile F , pričom nosník bol jednoducho uložený na svojich koncoch. Pri porovnaní maximálnych hodnôt interferenčného radu /obr. 6 a 7/ môžeme konštatovať, že normálové nápnatia pôsobiace kolmo na základovú škáru a teda i na nosník, na jeho dolný okraj, sú v prípade nosníka uloženého na súvislý pružný podklad - obr.6 - menšie ako u nosníka podo- pretého iba na jeho okrajoch - obr.7.



Obr.5



Obr.6



Obr.7

Z á v e r

Cieľom príspevku je poukázať na vplyv zmeny vlastností podzákladia na hornú konštrukciu.
Z uvedenej analýzy vyplýva pre projektanta - statika - dôležitosť úlohy zohľadniť každú zmenu - okolnosť v podzákladí pri ekonomickom a pritom bezpečnom návrhu hornej konštrukcie.

Literatúra

1. Pavlík, M. : Vplyv zmeny vlastností základovej pôdy pre návrh hornej konštrukcie. Experimentálna analýza modelov nosných konštrukcií spočívajúcich na súvisom podloží. Výskumná úloha ŠPZV II-4-6-/03.01, KZADS SvF VŠT Košice, 1988-1990 /priebežná a záverečná správa/.
2. Pavlík, M. : Experimentálna analýza napäti a deformácií nosných konštrukcií. Zborník vedeckých prác VŠT v Košiciach, 1990. ALFA Bratislava, 1991, str.455-467.

Matúš Pavlík, Doc., CSc., Ing.,
Slovenská technická univerzita, Fakulta architektúry, KKT
Námestie Slobody 19, 812 45 Bratislava,
tel. 567 41 - 9, fax 42-7-515 33